

FIG. 1

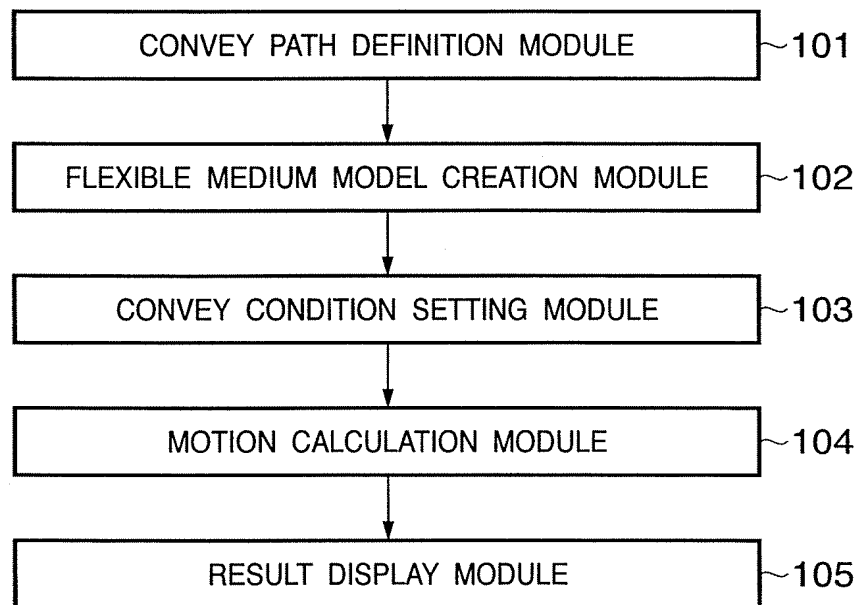


FIG. 2

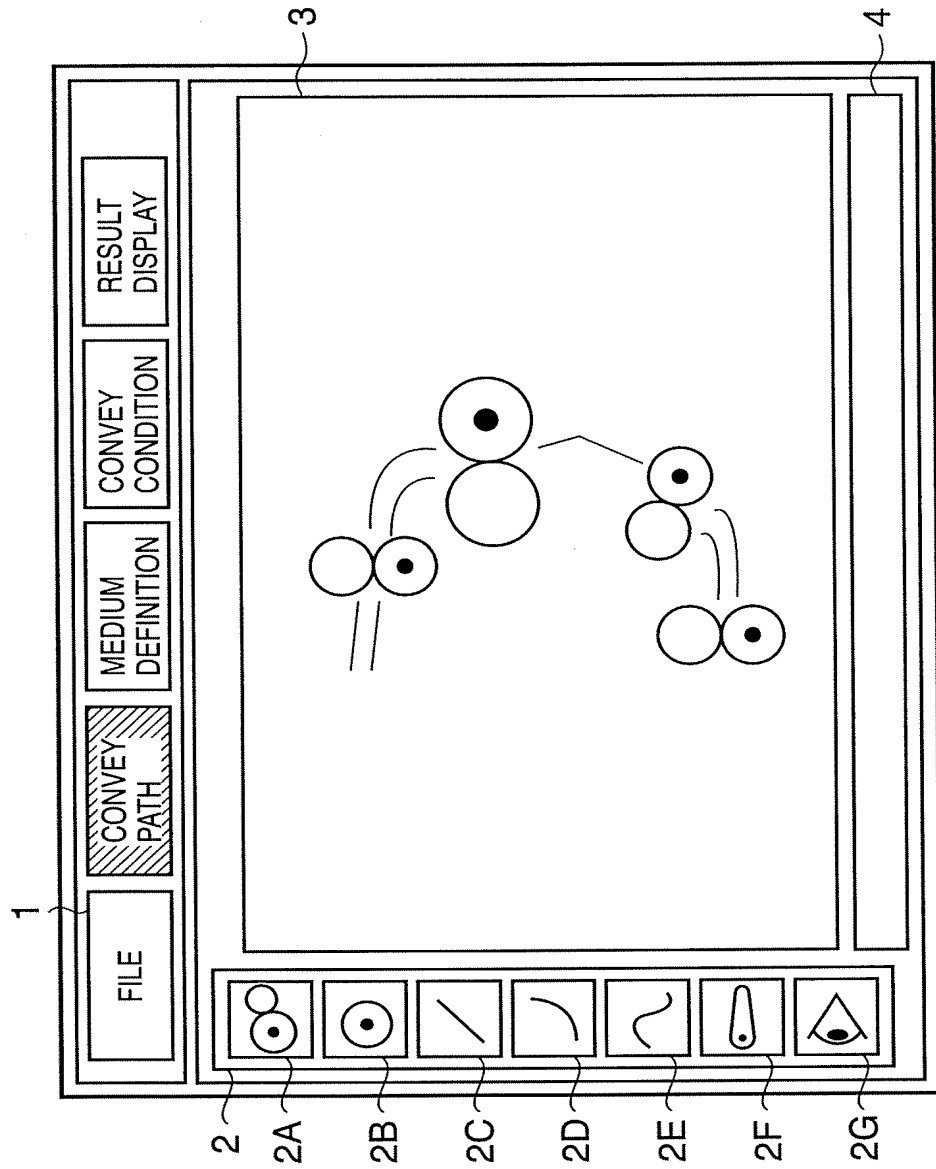


FIG. 3

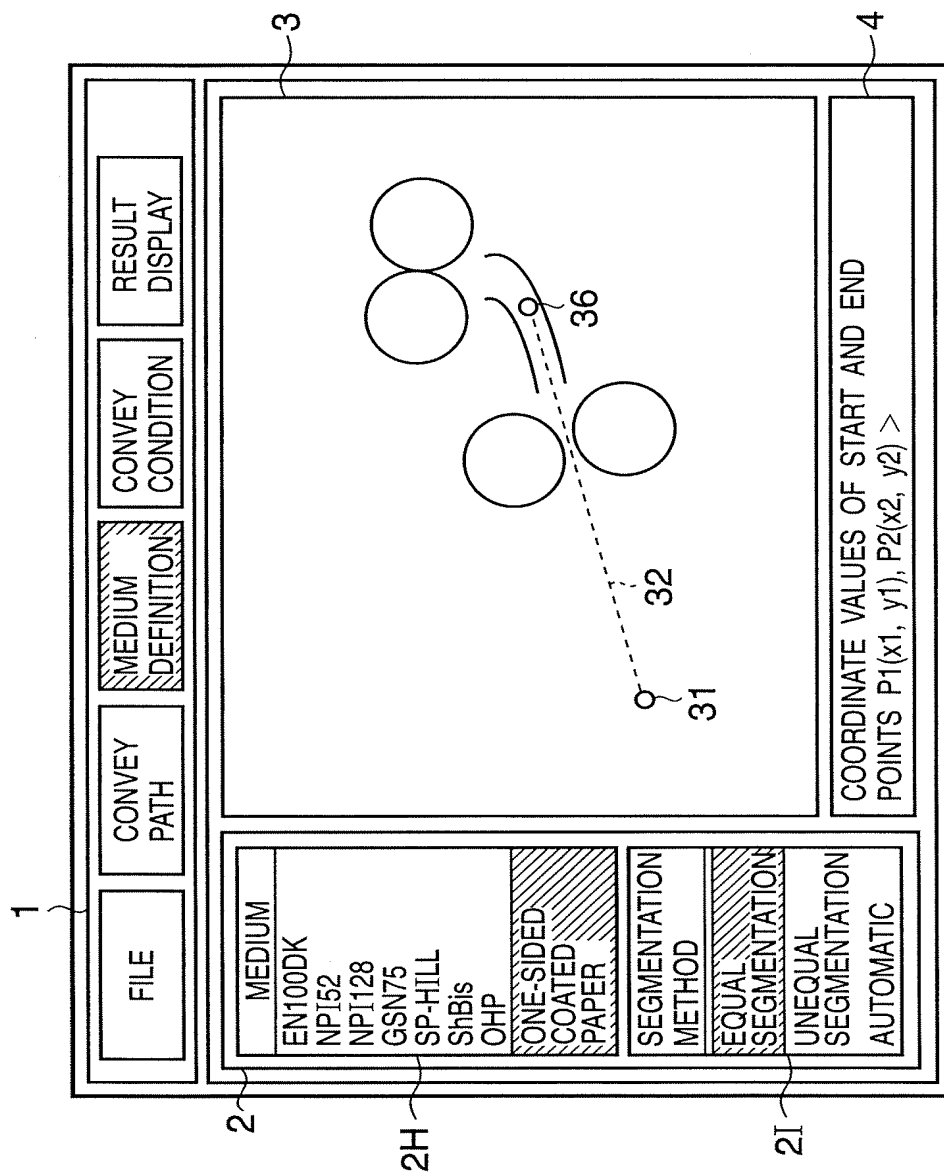


FIG. 4

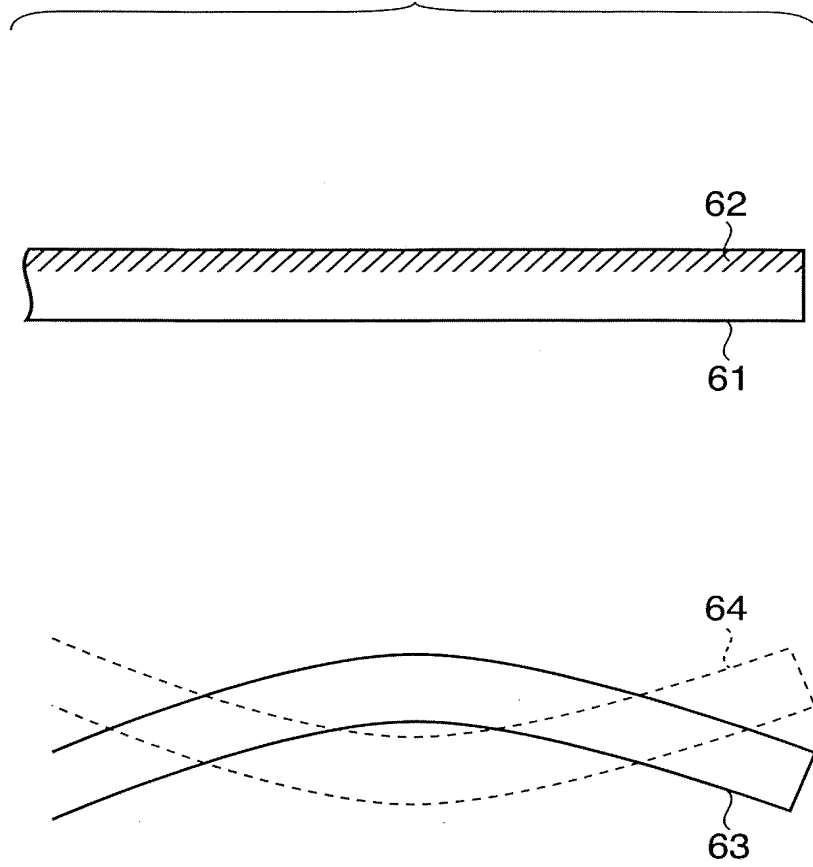


FIG. 5

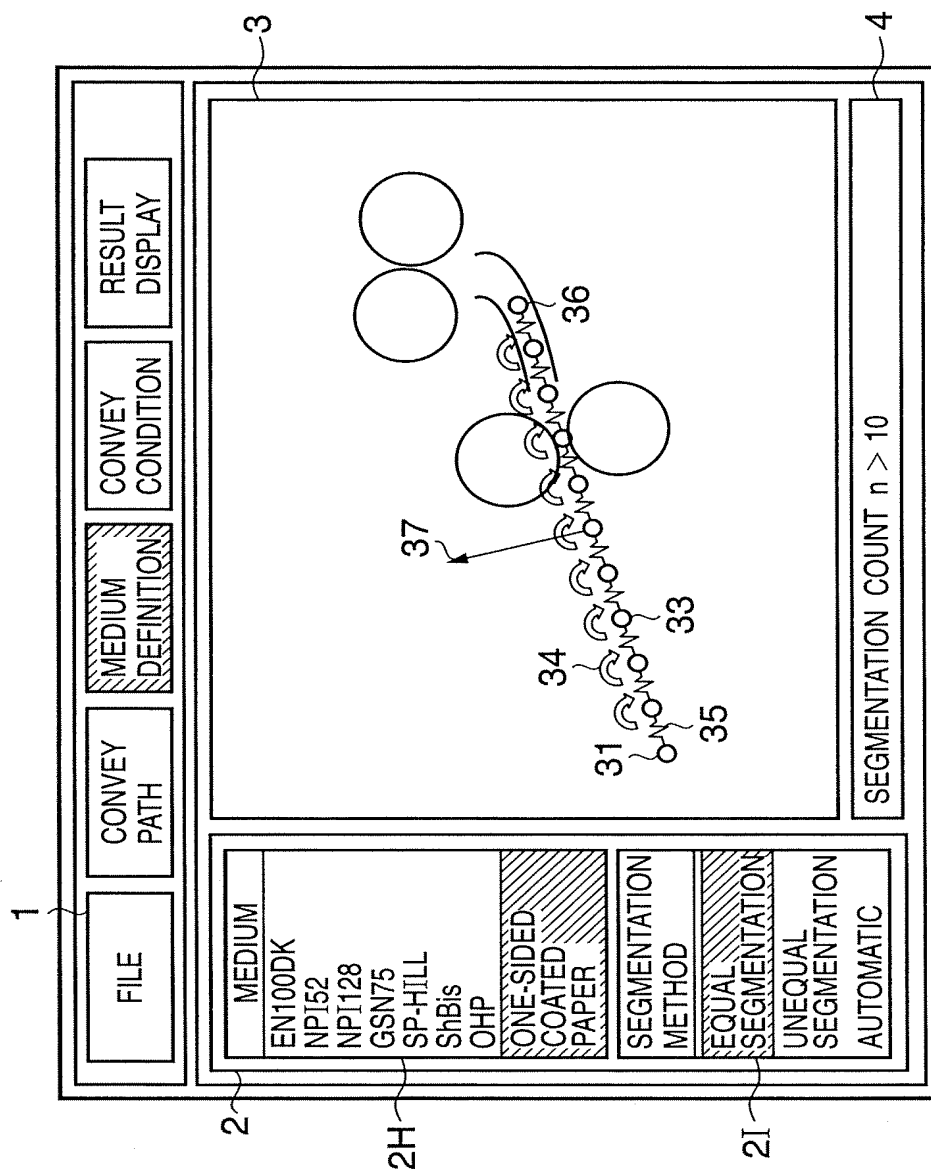


FIG. 6

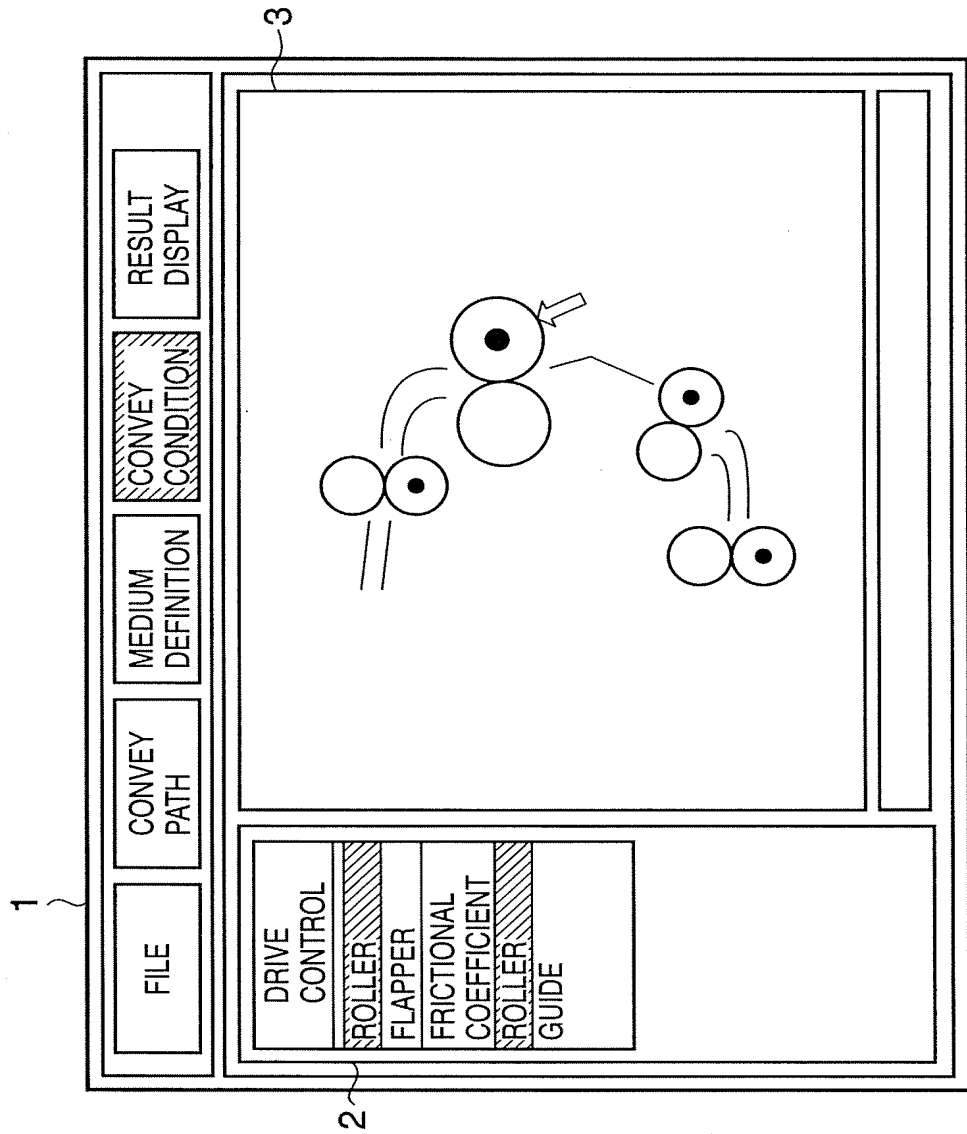


FIG. 7

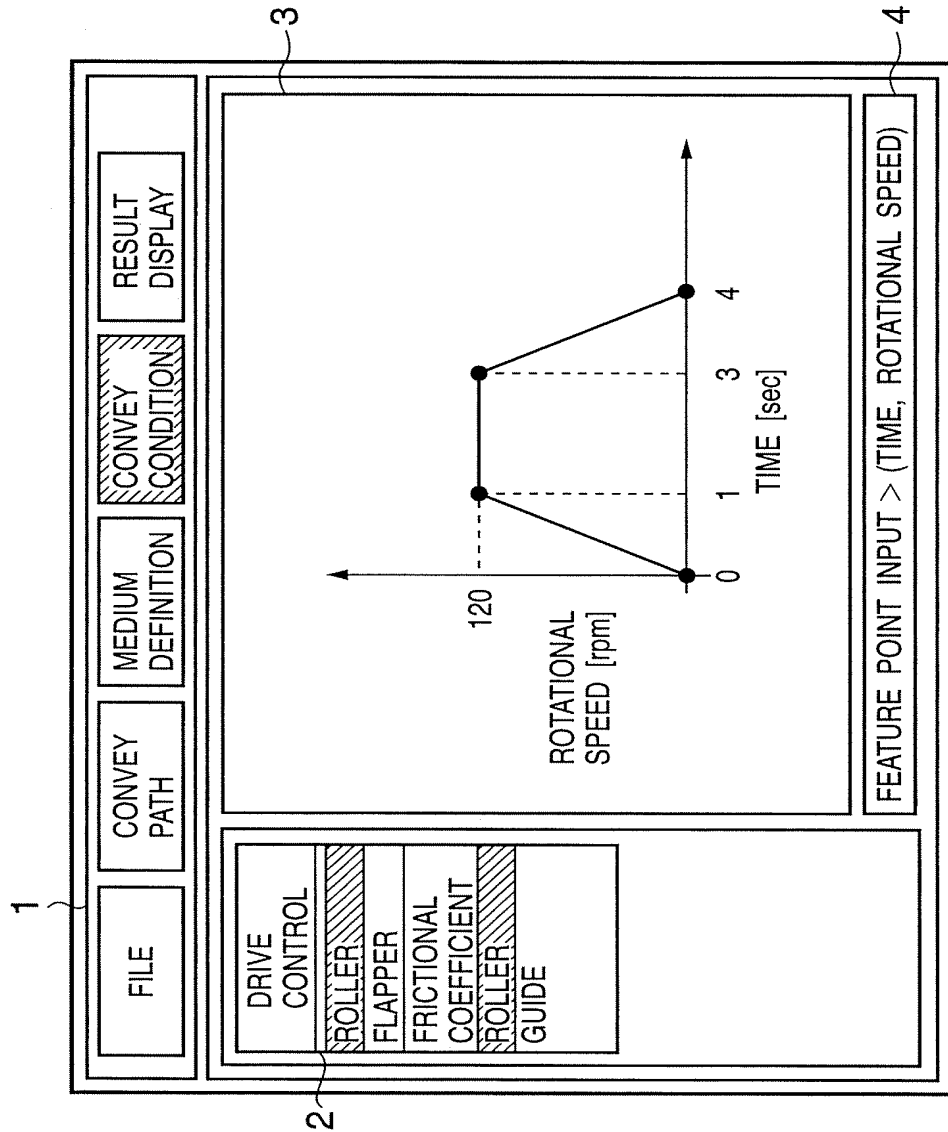


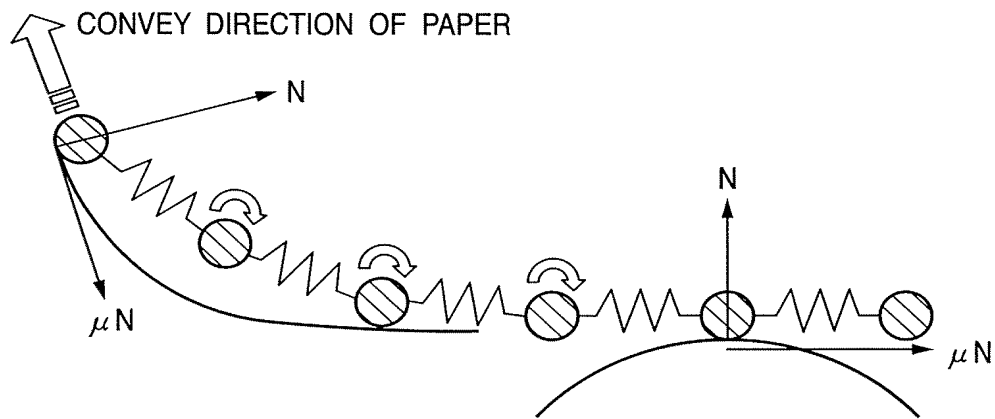
FIG. 8

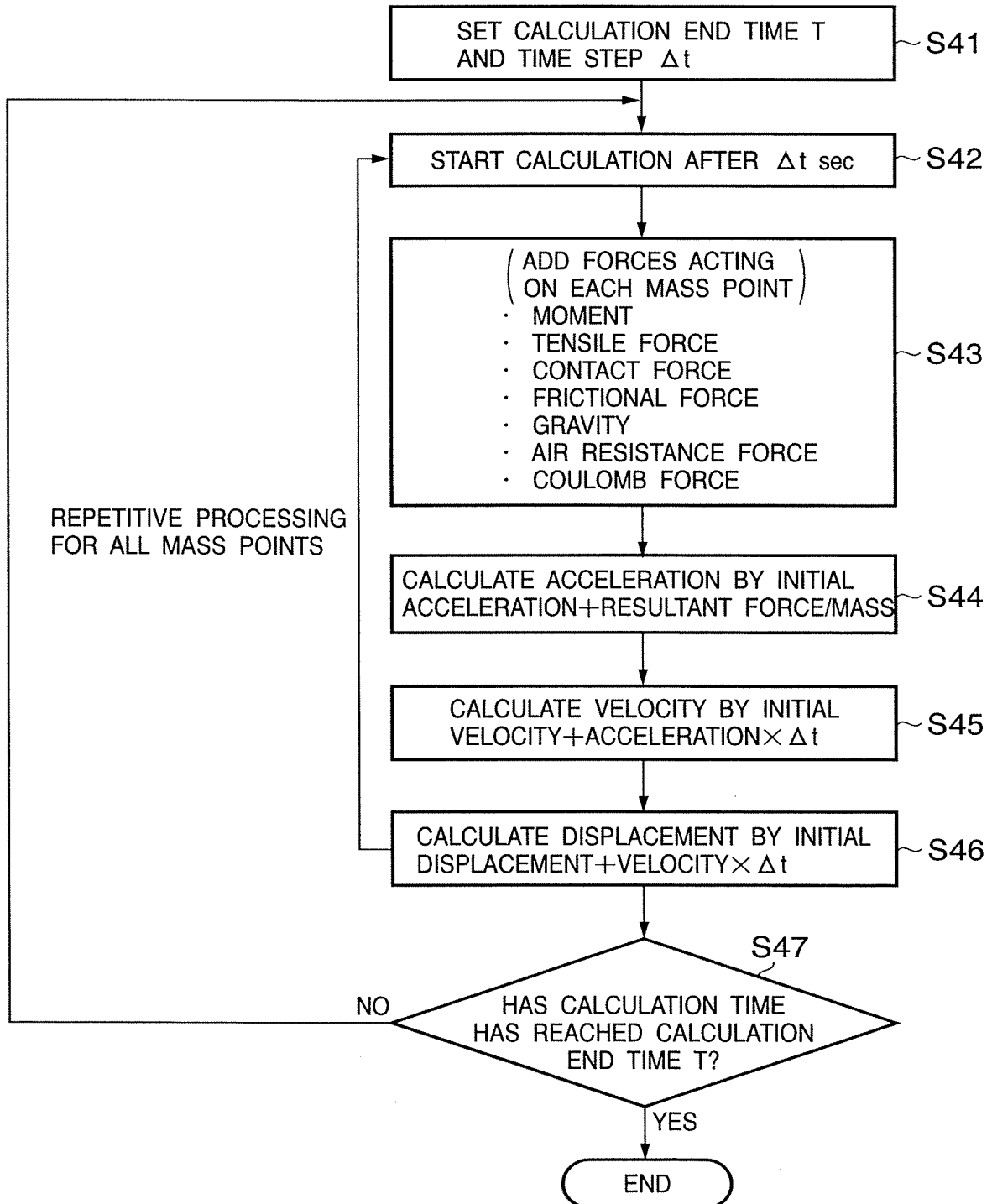
FIG. 9

FIG. 10

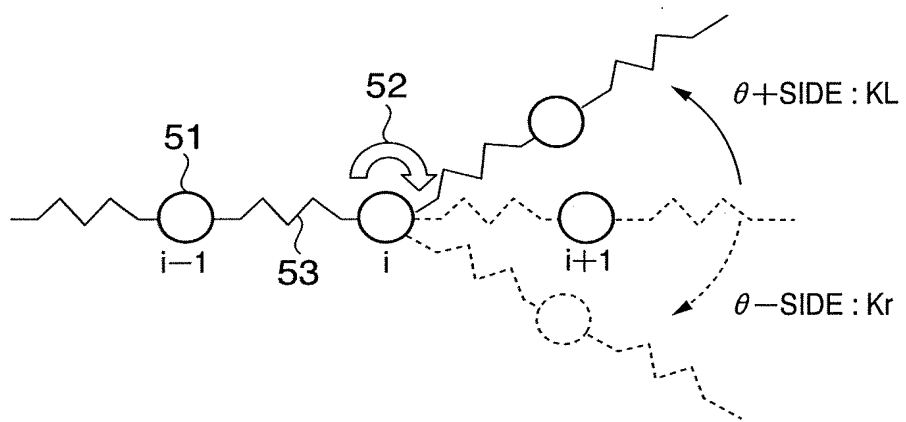


FIG. 11

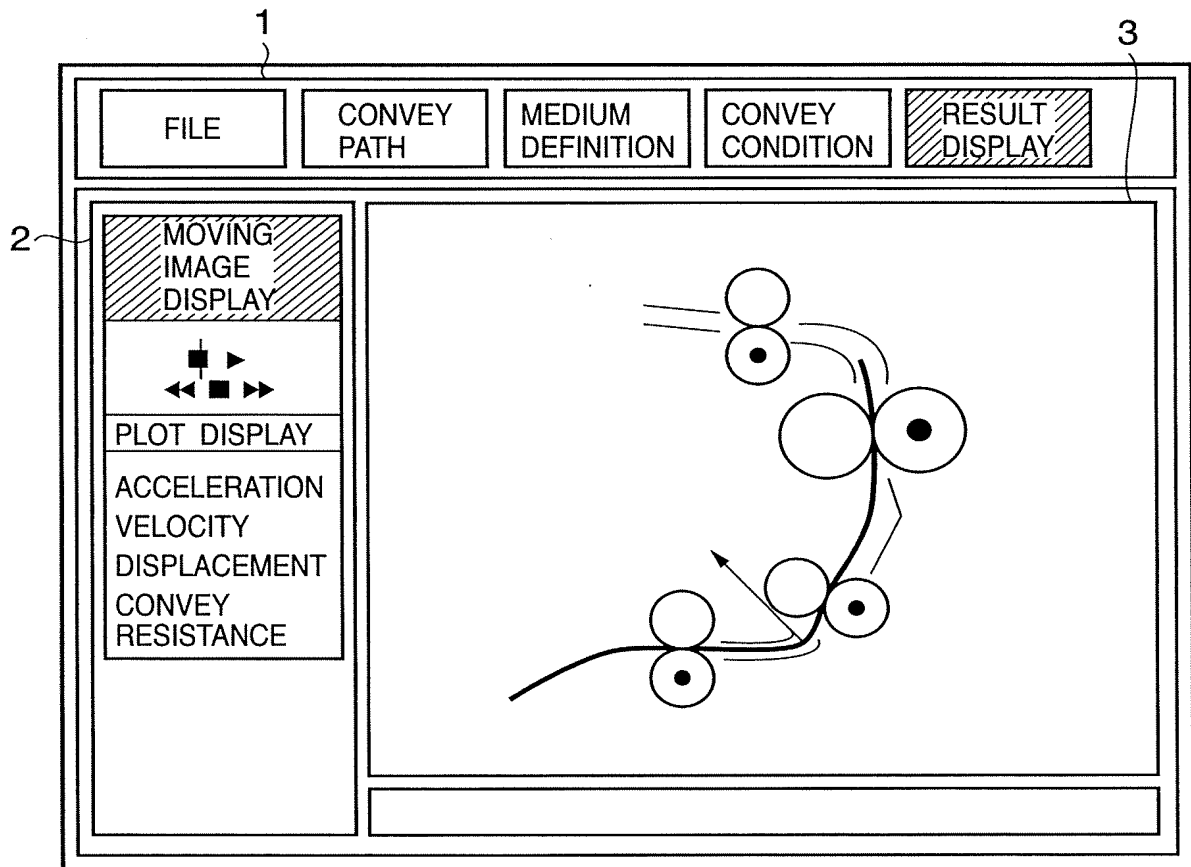


FIG. 12

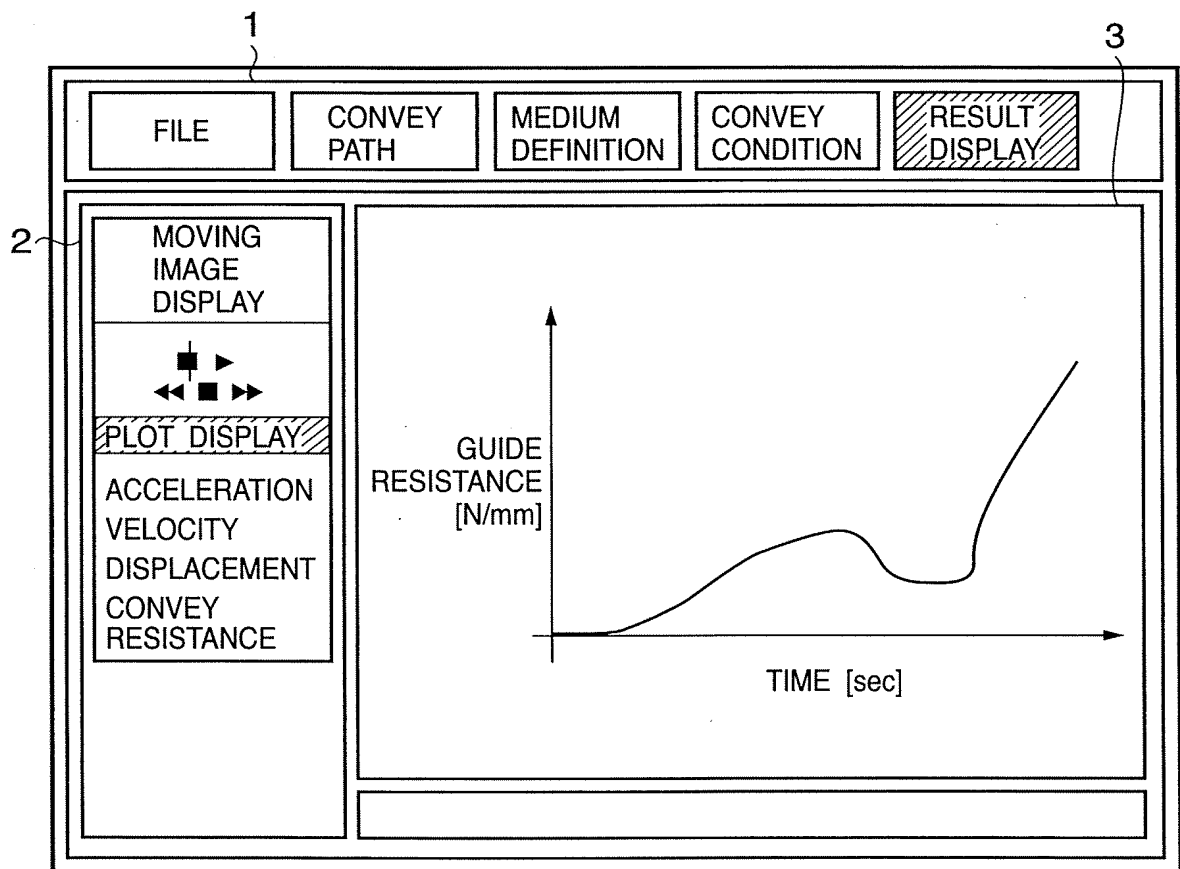


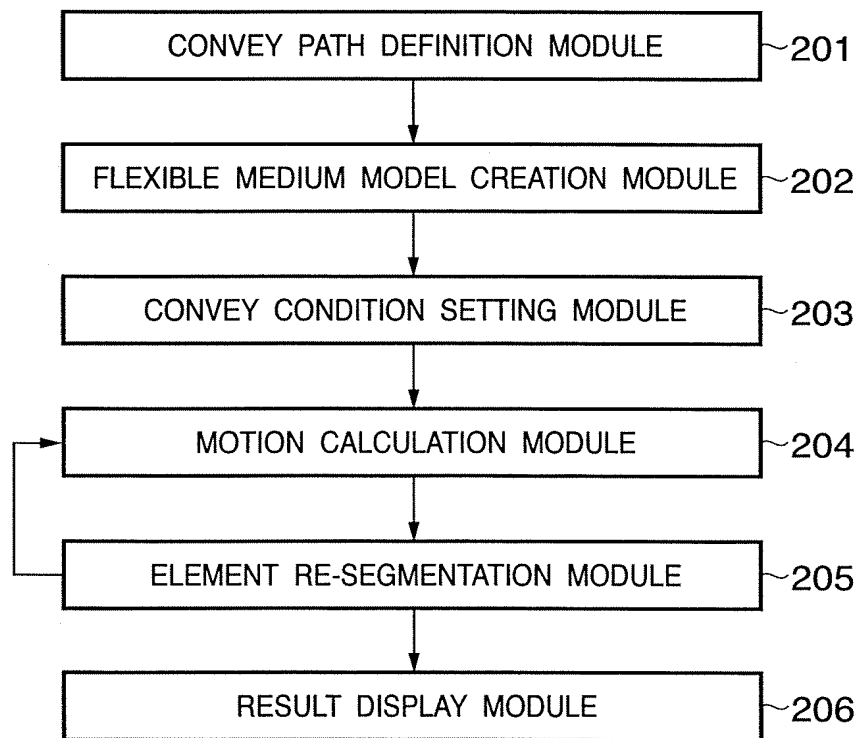
FIG. 13

FIG. 14

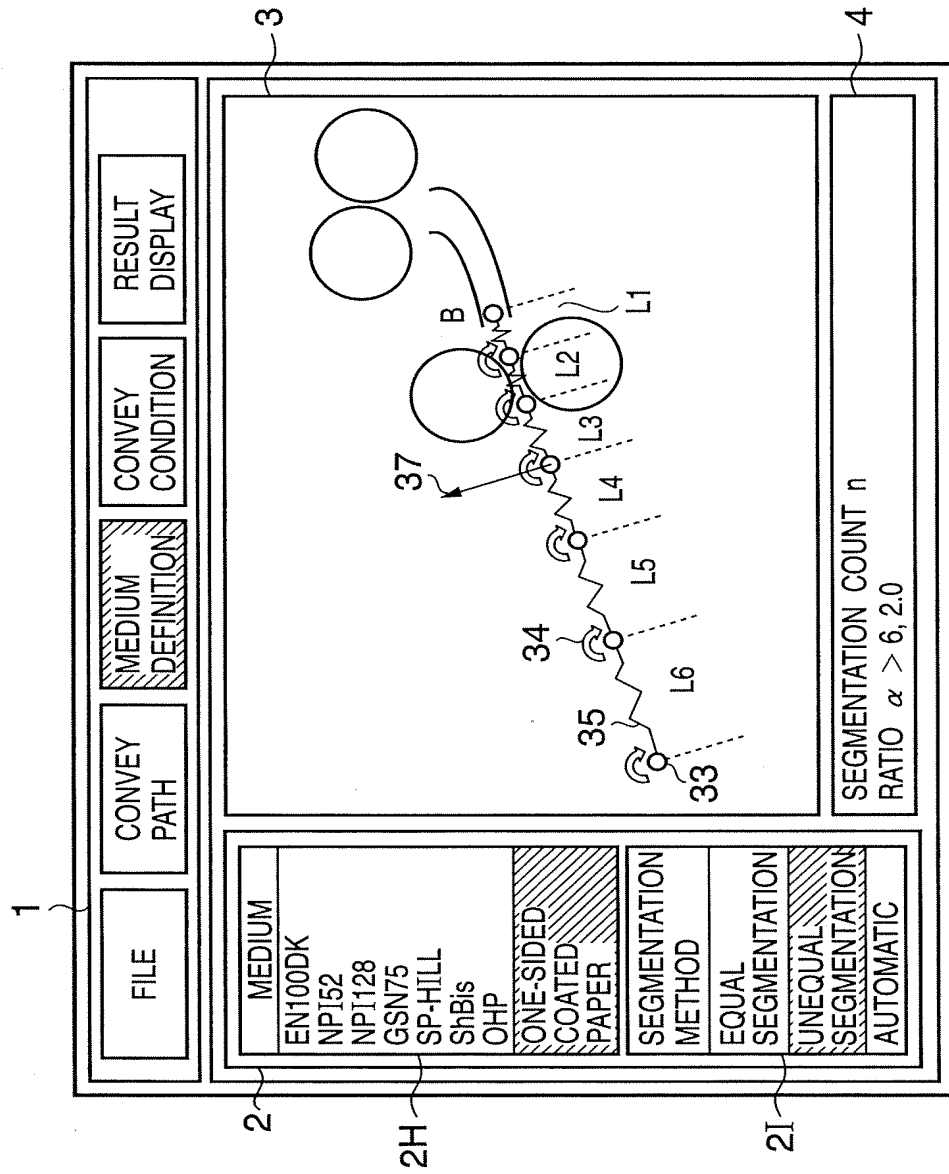


FIG. 15

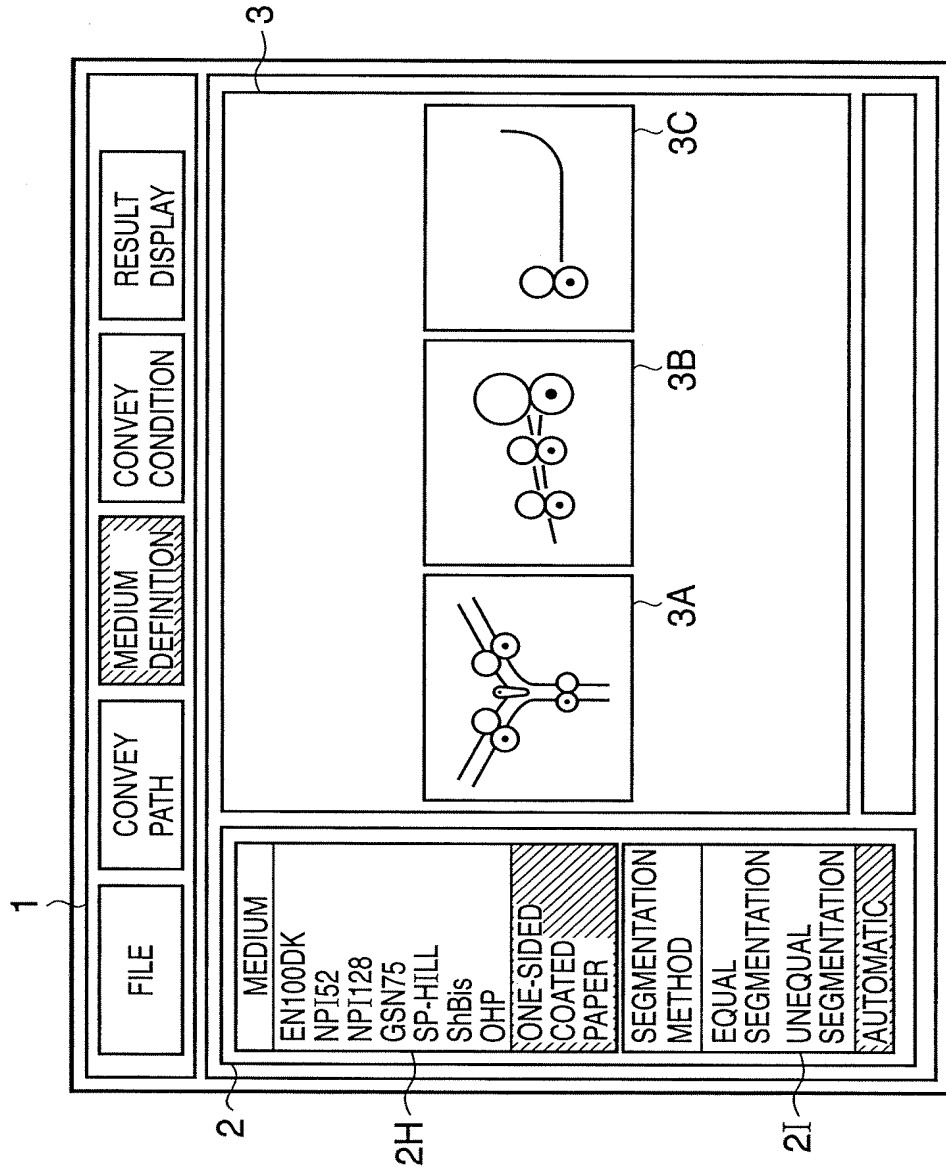


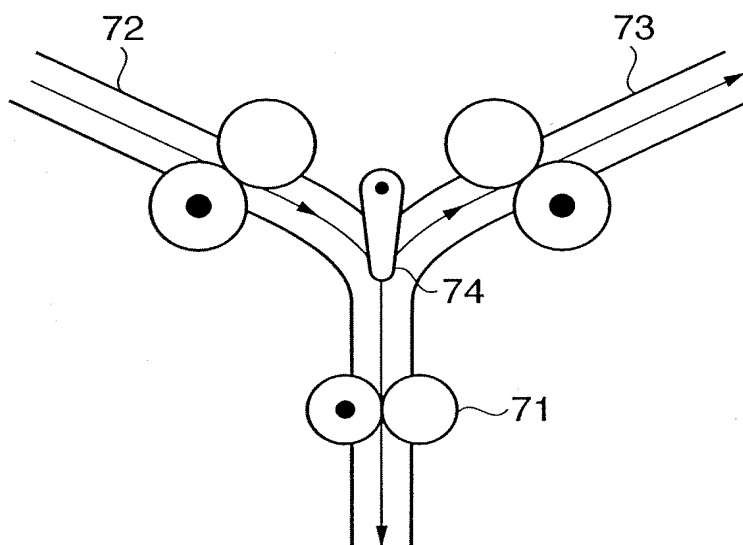
FIG. 16

FIG. 17

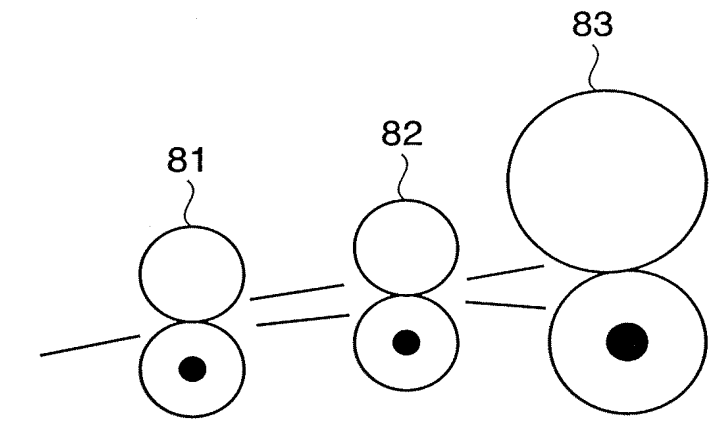


FIG. 18

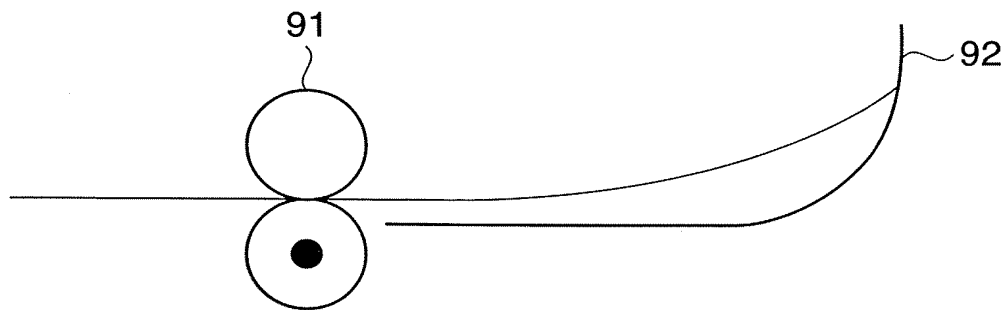


FIG. 19

		INVERSION MECHANISM	IMAGE FORMING MECHANISM	LEADING END/GUIDE RESISTANCE
EN100	n α	100 4.0	220 4.8	60 6.0
SPRINGHILL	n α	80 4.0	180 4.8	48 6.0

FIG. 20

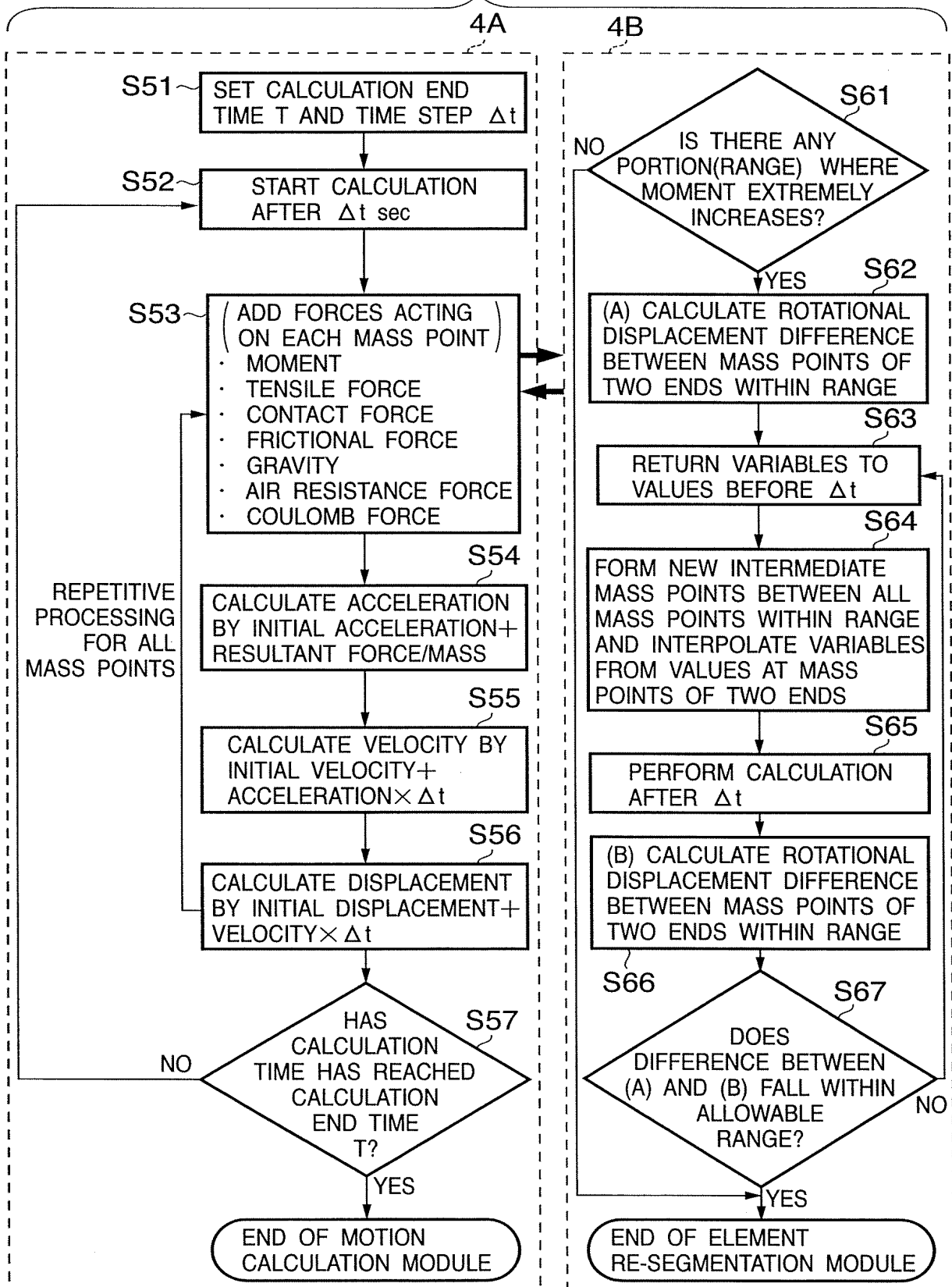


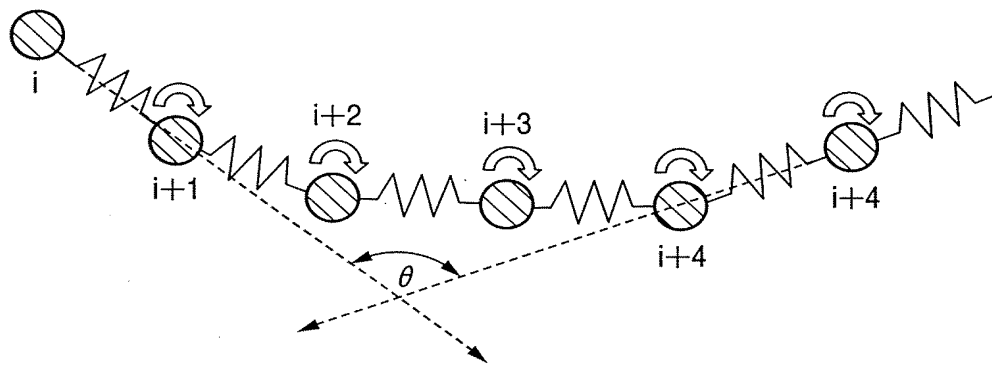
FIG. 21

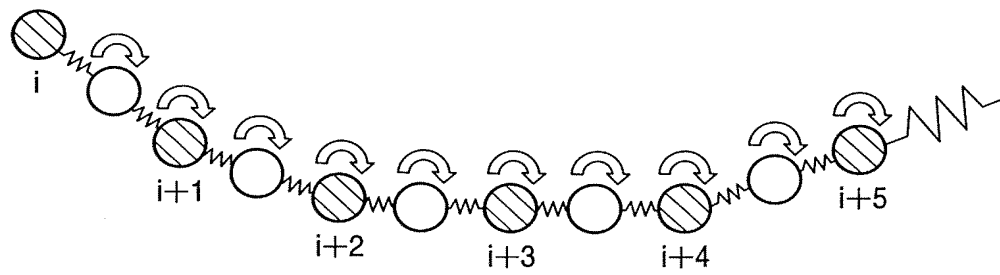
FIG. 22

FIG. 23